



تعیین آسیب‌پذیری آبخوان با روش دراستیک استاندارد و روش‌های داده‌مبا (مطالعه موردی: آبخوان کوچصفهان)

آیین پوسفودوست^{۱*} و عباس خاشعی سیوکی^۲

- دانشجوی دکتری گروه علوم و مهندسی آب، دانشکده کشاورزی، دانشگاه بیرجند
- دانشیار گروه علوم و مهندسی آب، دانشکده کشاورزی، دانشگاه بیرجند

تاریخ دریافت مقاله: ۱۳۹۵/۷/۷

چکیده

در سال‌های اخیر، افزایش جمعیت و بدینع آن، افزایش نیازهای آبی و کاهش کیفیت و آلودگی آبهای زیرزمینی، بهدلیل توسعه صنعت و کشاورزی، موجب توجه به کیفیت منابع آب زیرزمینی شده است. شناسایی و تهیه نقشه پهنه‌بندی مناطق آسیب‌پذیر آبخوان، یعنی مناطقی که در آنها امکان نفوذ و پخش آلاینده‌ها از سطح زمین به سیستم آب زیرزمینی وجود دارد، ابزار مدیریتی مناسبی برای پیشگیری از آلودگی منابع آب زیرزمینی است. در این پژوهش، برای تهیه نقشه پهنه‌بندی بتانسیل آسیب‌پذیری آبخوان دشت آستانه، در منطقه کوچصفهان از توابع استان مازندران، روش دراستیک (DRASTIC) به کار گرفته شد که یکی از کاربردی‌ترین روش‌های هموشمایی است. برای صحبت‌سنجی مدل، از داده‌های غلظت نیترات در منطقه استفاده شد. در این منطقه، استفاده از آبهای زیرزمینی برای کشاورزی و تأمین آب شرب بسیاری دارد. از سوی دیگر، استفاده از رویه ازکودهای شیمیایی، بهویژه کودهای نیتروژن‌دار، برای افزایش محصول و نداشتن دقت لازم در تصفیه فاضلاب شهری و صنعتی و رهاسازی آن از پارامترهای مؤثر بر افزایش مقدار نیترات در آبهای زیرزمینی منطقه شمرده می‌شود. ازین‌رو، بررسی آلودگی نیترات که یکی از مهم‌ترین مسائل زیست‌محیطی در آبهای زیرزمینی است، به صورت منظم و دوره‌ای، بسیار مهم و ضروری خواهد بود. به همین علت، نیترات عامل اصلی آسیب‌پذیری این منطقه معرفی شد. نتایج نشان داد آسیب‌پذیری آبخوان دشت آستانه کوچصفهان در چهار محدوده قرار دارد. ۰/۵۶٪ دشت دارای آسیب‌پذیری کم، ۰/۵۱٪ دارای آسیب‌پذیری اندک تا متوسط، ۰/۲۸٪ دارای آسیب‌پذیری متوسط تا زیاد و ۰/۶۷٪ دارای آسیب‌پذیری زیاد است. میزان همبستگی بین شاخص دراستیک (شخص آسیب‌پذیری) با غلظت نیترات ۰/۸۰ به دست آمد. در ادامه، با کمک چهار روش هوش مصنوعی، شامل شبکه عصبی مصنوعی، مدل ماشین بردار پشتیبان و فازی-عصبی، مقدار نیترات تخمين زده شد. برای این منظور، داده‌های ورودی (پارامترهای دراستیک) و خروجی (مقدار نیترات اندازه‌گیری و پهنه‌بندی شده در سی حلقه چاه موجود در منطقه) مدل و مقادیر نیترات مربوط، به دو دسته آموزش و آزمایش تقسیم شد. نتایج نشان داد که تمامی مدل‌های هوش مصنوعی به کار گرفته شده تخمين مناسبی از مقدار نیترات می‌دهند اما، در این میان، مدل شبکه عصبی بهترین نتایج را دربر داشت؛ بهطوری که بین نیترات محاسناتی و مقدار نیترات مشاهداتی همبستگی ۰/۹۸ داشت. در ادامه، با انتخاب مدل شبکه عصبی بهمنزله مدل برتر، کوشش شد با کاهش پارامترهای ورودی، مقدار نیترات تخمين زده شود. درنهایت، مشخص شد که با پنج پارامتر محیط خاک، محیط غیراشباع، محیط اشباع، تراز آب، هدایت هیدرولیکی و حذف دو پارامتر تغذیه و توبوگرافی مقدار همبستگی نیترات تخمين‌زده شده با مقدار واقعی نیترات اندازه‌گیری شده برابر ۰/۹۰ است. درنتیجه، می‌توان تخمين مناسبی از مقدار نیترات و نیز آسیب‌پذیری این منطقه داشت. این نکته برتری روش‌های هوش مصنوعی در بررسی آسیب‌پذیری، و مقایسه با روش دراستیک، نشان می‌دهد. نتایج نشان داد که مدل‌های هوش مصنوعی روشی کارآ در تخمین آسیب‌پذیری آبخوان محسوب می‌شوند و نتایج دقیقی از برآورده بتانسیل آلودگی در منطقه مورد مطالعه می‌دهند.

کلیدواژه‌ها: آسیب‌پذیری، دراستیک، GIS. شبکه عصبی و فازی، ماشین بردار پشتیبان.

* نویسنده عهده‌دار مکاتبات: تهران، خیابان انقلاب، خیابان ۱۲ فروردین، تقاطع خیابان پیروز کمال‌زاده، پلاک ۲۵، طبقه سوم، کدپستی: ۱۳۱۶۶۷۸۴۴. تلفن: ۰۹۱۰۷۷۸۶۳۶۹

۱- مقدمه

و قابلیت‌های ویرایشی و بهنگام‌سازی سریع داده‌ها، مدل‌سازی و تهیئة گزارش به‌شکل‌های گوناگون از ویژگی‌های دیگر این سامانه است. مهم‌ترین اشکال آن اعمال نظر شخصی و کارشناسی برای تعیین نرخ‌ها و وزن‌های است. به منظور بهبود مدل دراستیک، از روش‌های گوناگونی استفاده شده است. دیکسن^۱، با استفاده از منطق فازی، آسیب‌پذیری آبخوان آرکانزاس به آلودگی را در مقیاس منطقه‌ای پیش‌بینی کرد. اهداف تحقیق وی شامل تهیئة مدل‌های فازی با استفاده از برخی پارامترهای شاخص دراستیک اصلاح‌شده و مقایسه نتایج مدل فازی با مدل دراستیک و نتایج آنالیز کیفی آبخوان بود.

آرزومندی و همکاران (۱۳۹۴)، در پژوهشی با عنوان «ارزیابی آسیب‌پذیری آب زیرزمینی دشت آستانه-کوچصفهان با استفاده از مدل اصلاح‌شده-DRASTIC»، میزان نشت از کانال‌های خاکی را، به‌منزله NW هشت‌مین پارامتر، به عوامل دراستیک افزودند و روش دراستیک NW را مطرح کردند. با مقایسه دو نقشه دراستیک استاندارد و دراستیک NW، مشخص شد که میزان آسیب‌پذیری زیاد در نقشه دراستیک NW برابر با ۷.۹٪ بوده ولی در نقشه دراستیک استاندارد، برابر با ۶.۷٪ است. برای صحنتسنجی و مقایسه دو نقشه، از ضریب همبستگی R بین شاخص آسیب‌پذیری و غلظت نیترات استفاده شد که مقدار آن، برای دراستیک استاندارد، برابر با ۴۰٪ و برای دراستیک NW، برابر با ۶٪ بود و نشان می‌دهد نقشه دراستیک NW دقیق‌تر از نقشه دراستیک استاندارد (آرزومندی و همکاران، ۱۳۹۴). در پژوهشی دیگر، برای بررسی آسیب‌پذیری آبخوان دشت سلفچگان- نیزار در برابر آلودگی کشاورزی به‌کمک مدل دراستیک و سامانه اطلاعات جغرافیایی، نقشه‌های پهن‌هایی آسیب‌پذیری برای تدقیق پهن‌های آسیب‌پذیری از طریق آلودگی نیترات در محدوده

در سال‌های اخیر، افزایش جمعیت و به‌تبع آن، افزایش نیازهای آبی و کاهش کیفیت و آلودگی آبهای زیرزمینی، به‌دلیل توسعه صنعت و کشاورزی، موجب توجه به کیفیت منابع آب زیرزمینی شده است. یکی از راه‌های مناسب، برای جلوگیری از آلودگی آبهای زیرزمینی، شناسایی مناطق آسیب‌پذیر آبخوان و مدیریت بهره‌برداری از منابع آب و کاربری اراضی است. به‌طورکلی، مفهوم آسیب‌پذیری آبهای زیرزمینی براساس این فرض بیان شده که محیط فیزیکی ممکن است از آبهای زیرزمینی در برابر برخی آثار نامطلوب طبیعی محافظت کند؛ به‌ویژه در مواردی که آلودگی وارد زمین می‌شود (El-Neqa et al. 2006). محققان گوناگون، برای ارزیابی آسیب‌پذیری در مقیاس‌های متفاوت، روش‌های بسیاری را پیشنهاد کردند (Napolitano, 1995). به‌طورکلی، روش مطلقی برای پیش‌بینی آسیب‌پذیری آبهای زیرزمینی وجود ندارد. برای تخمین حساسیت آبخوان‌ها به آلودگی، شیوه‌های در سطح دنیا گسترش یافته است (Gemitz et al., 2006). این روش‌ها به سه طبقه اصلی روش‌های شاخص و همپوشانی، مدل‌های شبیه‌سازی پردازشی و روش‌های آماری تقسیم می‌شوند (Samey and Gang, 2008). هریک از این روش‌ها مزایا و معایبی دارند که در مناسب‌بودن آن‌ها برای کاربری‌های خاص تأثیر می‌گذارد.

در بیشتر روش‌های شاخص و همپوشان و اجماله روش دراستیک، باید اطلاعات به‌دست آمده از پارامترهای متفاوت به صورت تلفیقی تحلیل شوند. سامانه اطلاعات جغرافیایی، به‌دلیل ویژگی‌های توانایی‌های خاص خود نیز، می‌تواند ابزاری بسیار مفید باشد. این سامانه قابلیت گردآوری، ذخیره‌سازی و تحلیل هم‌زمان پارامترهای گوناگون را دارد و نمایش داده‌های مکانی را در زمانی کوتاه فراهم می‌آورد. هزینه اندک، دقت محاسباتی بالا، استفاده از توابع تحلیلی پیچیده، قابلیت تفکیک طیفی، مکانی و زمانی چشمگیر

1. Dixon

غلظت نیترات در آبخوان کرج، از شبکه‌های عصبی بهمنزله ابزاری مبتنی بر داده و کاملاً انعطاف‌پذیر، استفاده کرده‌اند. غلظت نیترات در فصل پیشین، ضخامت لایه اشباع، میزان برداشت از چاههای بهره‌برداری در فصل هدف و فصل قبل، تغییرات افت سطح آب و مختصات جغرافیایی را تخمین‌زننده‌های مدل در نظر گرفتند. ابتدا، مدل شبیه‌سازی مجزای هر فصل تدوین و سپس، مدلی واحد برای تمامی فصل‌ها توسعه یافته است. نتایج تحقیق نشان می‌دهد تخمین تغییرات غلظت نیترات در مرحله صحت‌سنجی، در فصل تابستان، با شاخص کارآیی همبستگی ۷۴٪ بیشترین دقت را در مقایسه با دیگر فصل‌ها دارد. پس از آن، فصل‌های پاییز، زمستان و بهار دارای شاخص‌های کارآیی ۶۳.۳۵، ۶۲.۴۸ و ۵۰ هستند. شاخص کارآیی مدل پیشنهادی برای تمامی فصل‌ها نیز، در مرحله صحت‌سنجی، برابر با ۶۱٪ درصد بوده که دلالت بر کارآیی مناسب این مدل، برای شبیه‌سازی غلظت نیترات، دارد.

در تحقیق دیگر که زارع ابیانه و همکاران در منطقه بهار همدان انجام دادند (۱۳۹۰)، داده‌ها را از آمار و اطلاعات کمی و کیفی ۵۳ حلقه چاه آب زیرزمینی داشت همدان-بهار، در دو گروه اطلاعات پرهزینه و کم‌هزینه، طی سال‌های ۱۳۸۷ تا ۱۳۸۲ بدست آورند. در گروه اطلاعات پرهزینه، ۱۳٪ متغیر مستقل شیمیایی را ورودی شبکه عصبی مصنوعی در نظر گرفتند و در گروه کم‌هزینه، ۷٪ متغیر را، به تفکیک، برای مدل‌سازی نیترات استفاده کردند. مقایسه نتایج آزمون هر سه آزمایش حاکی از توانایی بالای مدل شبکه عصبی در پیش‌بینی غلظت نیترات بود و نشان داد که تفاوت معناداری بین نتایج مدل‌ها وجود ندارد؛ بنابراین، استفاده از اطلاعات گروه دوم، در ورودی شبکه عصبی، توجیه‌پذیر است. مشخصه‌های ورودی مدل پیشنهادی آنها شامل ویژگی‌های هدایت الکتریکی نمونه‌های آب

-
1. Perceptron
 2. Sigmoid

پهنه‌های آسیب‌پذیری، با همبستگی بهنسبت مناسبی، تدقیق شد. در ادامه، با استفاده از تکنیک‌های GIS و با تحلیل حساسیت تک‌پارامتری، میزان تأثیرگذاری بررسی شد. نتایج تحلیل حساسیت تک‌پارامتری در این روش نشان داد که وزن مؤثر و تئوریک پارامترهای به کاررفته کاملاً بر هم منطبق نیستند و در برخی موارد، تفاوت‌های معنابهی دارند (احمدی و همکاران، ۱۳۹۲). در مطالعه دیگری که در منطقه کوچصفهان صورت گرفت، دو روش دراستیک بهمودیافتۀ فازی با یکدیگر مقایسه شدند. همبستگی بین شاخص آسیب‌پذیری و نیترات در روش دراستیک و دراستیک فازی، به ترتیب، برابر با ۴۹٪ و ۵۳٪ بود که این خود برتری روش دراستیک فازی بر روش دراستیک معمولی را نشان می‌دهد (Arezoomand et al., 2016).

یکی از دیگر روش‌های ارزیابی آسیب‌پذیری آبخوان استفاده از روش‌های داده‌محور است. با این روش‌ها می‌توان، با داشتن اطلاعات اندک و در زمان کم، از طریق آموزش شبکه آسیب‌پذیری آبخوان را با دقت بالایی تخمین زد. حائز اهمیت است تا کنون مطالعات محدودی در این باره انجام شده است.

عسگری و همکاران (۱۳۸۹)، در مطالعه‌ای، آلودگی نیترات در آب‌های زیرزمینی حاشیه راینده رود مقادیر کیفی آب، با استفاده از شبکه عصبی مصنوعی، مدل‌سازی کردند و آن را تخمین زند آن‌ها به‌منظور آموزش شبکه از نرم‌افزار متلب، شبکه پرسپترون^۱ سه‌لایه، قاعدة آموزشی انتشار به عقب و تابع فعالیت سیگموئید^۲ استفاده کردند که پس از آزمایش‌های پی‌درپی، شبکه‌ای با یک لایه پنهان و نوزده نرون در این لایه کمترین مقدار خطأ را در روند آموزش شبکه، ارزیابی و اعتبارسنجی ایجاد کرد. این امر خود بیانگر آن است که شبکه‌ای (با تقریب مناسب) طراحی شده و با استفاده از آن، می‌توان مقدار نیترات را، به راحتی و بدون استفاده از روابط پیچیده ریاضی، بدست آورد. پورفرح‌آبادی و همکاران (۱۳۸۷) در تحقیقی، در شبیه‌سازی تغییرات

۲- مواد و روش‌ها

۲-۱- معرفی منطقه مورد مطالعه

دشت آستانه کوچصفهان در استان گیلان و روی مخروط افکنه رودخانه سپیدرود تشکیل شده و مساحت آن حدود ۱۱۰۰ کیلومترمربع ذکر شده است. این محدوده بین طول شرقی ۴۰° تا ۵۵° و عرض شمالی ۳۷° تا $۳۰^{\circ} ۲۵$ قرار دارد. شکل ۱ محدوده مورد مطالعه را نشان می‌دهد. آرزومندی و همکاران (۱۳۹۴)، در بررسی آسیب‌پذیری آب زیرزمینی این دشت، با استفاده از مدل دراستیک که وزن‌دهی براساس مطالعات محلی انجام شده بود، مقدار مشخص آسیب‌پذیری آبخوان را بین ۱۰۷ تا ۱۸۰ به دست آوردند. همچنین، در بررسی آسیب‌پذیری آب زیرزمینی این دشت، با افودن پارامتر میزان نشت از کانال‌های خاکی بهمنزله پارامتر هشتم به روش دراستیک، روش دراستیک اصلاح شده را مطرح کردند. نتایج حاصل نشان داد که مدل اصلاح شده دراستیک، افزون‌بر دقت بیشتر در مقایسه با مدل اولیه، با توجه به همبستگی بالای نیترات، آلودگی اراضی کشاورزی و بهویژه شالیزارها به آن، عامل اصلی آسیب‌پذیری آب زیرزمینی است.

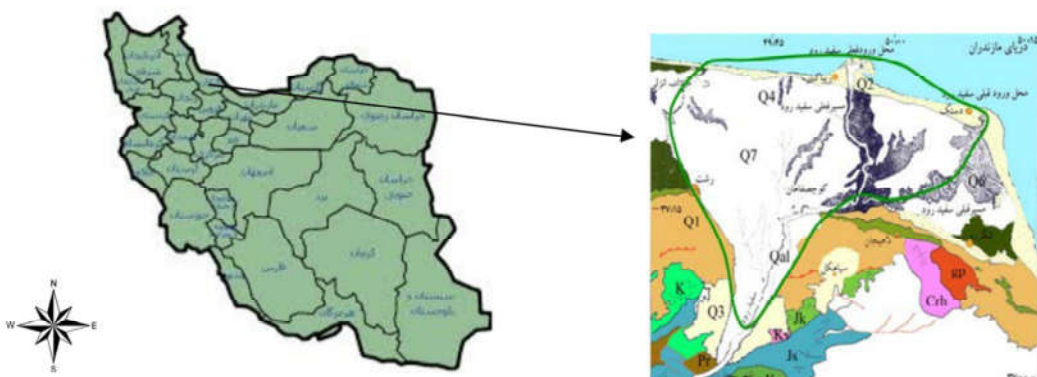
همان‌طور که از آمار بارندگی ایستگاه‌های واقع در محدوده مطالعاتی بین سال‌های ۱۳۴۰-۱۳۸۷ مشخص است، میزان بارندگی در ایستگاه‌های آستانه، شهر بیجار، سد سنگر و لاهیجان بین ۱۰۰۰ تا ۲۵۰۰ میلی‌متر در سال متغیر است که تغذیه مناسب مخزن را می‌رساند. جنس مواد سازنده آبخوان از رسوبات دلتایی و آبرفتی رودخانه سفیدرود است که، در بخش‌های جنوبی‌تر، ذرات دانه‌درشت‌ترند و از لحاظ کمی و کیفی، شرایط بهتری را به وجود می‌آورند. افزون‌بر آن، رسوبات دانه‌ریز، در نقاط گوناگون محدوده مخروط افکنه سفیدرود، عدسی‌های رسی با ضخامت‌های متفاوت را پدید آورده‌اند که توزیع آبخوان در معرض فشار را پیچیده می‌سازد (آرزومندی و همکاران، ۱۳۹۴).

اندازه‌گیری شده، pH، ژئومورفولوژی عمق استانیک، عمق چاه، مختصات جغرافیایی و اطلاعات کیفی دما بود که در پیش‌بینی غلظت نیترات، با اطمینانی بیش از ۸۰٪، به موقیت دست یافت. در تحقیقی دیگر، از شبکه عصبی با ساختار چهارلایه برای پیش‌بینی نیترات در خاک ناحیه ریشه استفاده شد و نیز شبکه عصبی سه‌لایه، با دوازده نرون اطلاعاتی در لایه ورودی، چهار نرون در لایه دوم و شش نرون در لایه سوم، به کار رفت (Kaluli et al., 1998). همچنین، دیامانتوپولو و همکاران^۱ (۲۰۰۵) ورودی‌های متفاوتی را در ساختار شبکه عصبی، برای پیش‌بینی نیترات رودخانه آکسیوس در شمال یونان، استفاده کردند. آنها با استفاده از نه ورودی و مقادیر آنیون‌ها و کاتیون‌ها، دما و هدایت الکتریکی موفق به برآورد نیترات با ۱۹٪ خطأ شدند. در پژوهشی که رامازامی و همکاران^۲ (۲۰۰۳) انجام دادند، نیترات را تابعی از یون‌های موجود در آب زیرزمینی در نظر گرفتند و با مدل‌سازی به روش ANN و لحاظ‌کردن شش مشخصه ورودی، توانستند نیترات را پیش‌بینی کنند. در پژوهش المصری و کالوئاراچی^۳ (۲۰۰۵) سیستم اطلاعات جغرافیایی و شبکه عصبی مصنوعی به دو شیوه انجام شد. آنها موفق شدند نیترات آب زیرزمینی در آبخوان‌های واشنگتن را برآورد کنند. در پژوهش حاضر، بهمنظور دستیابی به روشی مناسب و مؤثر برای حفاظت منابع آب زیرزمینی از آلودگی‌هایی که در آینده آنها تهدید می‌کند، آسیب‌پذیری دشت با چهار روش شبکه عصبی، عصبی-فازی، ماشین بردار پشتیبان و روش دراستیک تخمین زده شد. در ادامه، از میان این چهار روش، آن مورد که آسیب‌پذیری آبخوان را با دقت بیشتری تخمین می‌زند در مقام روش برتر انتخاب شد و سعی شد، با کاهش پارامترهای مدل، مقدار آسیب‌پذیری آبخوان تخمین زده شود.

1. Diamantopoulou et al.

2. Ramasamy et al.

3. Almasri and Kaluarachchi



شکل ۱. موقعیت دشت آستانه-کوچفهان

۲-۲- روش‌شناسی

$$DRASTIC Index = D_r D_w + R_r R_w + A_r A_w + S_r S_w + T_r T_w + I_r I_w + C_r C_w \quad \text{رابطه (1)}$$

با تهیه نقشه‌های رستری^۱ پارامترهای دراستیک در محیط GIS و به کارگیری قابلیت Calculator Raster نرم‌افزار GIS، می‌توان لایه‌های متفاوت را تلفیق و نقشه‌پنهان‌بندی آسیب‌پذیری را تهیه کرد. با تلفیق پارامترها طبق رابطه (۱)، نتیجه حاصل لایه‌ای شبکه‌ای است که در آن سلول‌های دارای اعداد بزرگ‌تر بیان کننده مناطقی با آسیب‌پذیری ذاتی آب زیرزمینی در مقابل آводگی بیشترند. سلول‌های دارای ارزش عددی کمتر نیز مناطقی را نشان می‌دهند که آسیب‌پذیری ذاتی آب‌های زیرزمینی در مقابل آводگی در این مناطق کمتر است. در مدل دراستیک، شاخص نهایی حاصل ضرب ارزش عددی رتبه‌بندی شده هر پارامتر در وزن آن پارامتر است. برای نمونه، به پارامتر عمق آب زیرزمینی وزن ۵ اختصاص داده شده و ارزش عددی رتبه‌های متفاوت عمق آب زیرزمینی از ۱ تا ۱۰ تغییر می‌کند؛ بنابراین، شاخص دراستیک حاصل از پارامتر عمق آب زیرزمینی از ۵ تا ۵۰ متغیر است. به همین ترتیب، پارامترهای تغذیه از ۴ تا ۴۰، محیط آبخوان از ۳ تا ۳۰، نوع خاک از ۲ تا ۲۰، توپوگرافی از ۱ تا ۱۰، اثر

مدل DRASTIC را سازمان حفاظت محیط‌زیست ایالات متحده امریکا، با هدف ارزیابی پتانسیل آلودگی آب‌های زیرزمینی، برای سراسر ایالات متحده طراحی کرد. این مدل برایه مفهوم هیدرولوژیکی استوار است و در حقیقت، تمامی عوامل زمین‌شناسی و هیدرولوژیکی مهمی را توصیف می‌کند که در حرکت آب‌های زیرزمینی هنگام ورود، حین عبور و بیرون از سیستم یک ناحیه تأثیر می‌گذارد و آن را کنترل می‌کنند (Wen et al., 2009). واژه «دراستیک» از هفت پارامتر به کاررفته در این مدل تشکیل شده که عبارت‌اند از:

D: عمق تا سطح ایستابی؛

R: تغذیه خالص؛

A: محیط آبخوان؛

S: محیط خاک؛

T: توپوگرافی؛

I: تأثیر ناحیه غیراشبع؛

C : هدایت هیدرولیکی (Babiker et al., 2005) در این روش، شاخص آسیب‌پذیری از مجموع حاصل ضرب وزن و رتبه هفت پارامتر یادشده، مطابق رابطه (۱)، به دست می‌آید. رتبه هر پارامتر بین ۱ تا ۱۰ و وزن هر پارامتر، با توجه به اهمیت آن، بین ۱ تا ۵ متغیر است.

1. Raster

شود. بدین معنا که ممکن است در منطقه‌ای آسیب‌پذیری اندک و متوسط باشد ولی، بدلیل وجود گستره‌منابع آلاینده، از نظر آلودگی، منطقه پرخطری محسوب شود. بر عکس، ممکن است در منطقه‌ای آسیب‌پذیری بالا باشد ولی، به علت نبود منابع آلاینده، هیچ گونه خطر آلودگی آب زیرزمینی را تهدید نکند. جدول ۱ طبقه‌بندی کیفی میزان آسیب‌پذیری را نشان می‌دهد.

۱-۲-۲ وزن‌دهی پارامترهای دراستیک
جدول ۲ وزن‌های نسبت‌داده شده به پارامترهای هفتگانه دراستیک را نشان می‌دهد. با توجه به جدول ۲، به هریک از این پارامترها، به نسبت اهمیت آن در آسیب‌پذیری، وزنی بین ۱ تا ۵ داده می‌شود.

منطقه غیراشباع از ۵ تا ۵۰ و هدایت هیدرولیکی از ۳ تا ۳۰ دچار تغییر می‌شود. درنتیجه، برای تبدیل شاخص دراستیک به درجات متفاوت آسیب‌پذیری، فقط باید ارزش عددی رتبه‌های هر پارامتر به پنج قسمت ۱-۲، ۲-۴، ۴-۶، ۶-۸ و ۸-۱۰ تقسیم و در وزن پارامتر ضرب شود. حاصل جمع تمامی پارامترها برای هر قسمت بیانگر درجات آسیب‌پذیری خواهد بود؛ بنابراین، می‌توان شاخص آسیب‌پذیری را به این پنج گروه تقسیم‌بندی کرد: آسیب‌پذیری قابل چشم‌پوشی، از ۲۳ تا ۴۶، آسیب‌پذیری اندک، از ۴۷ تا ۹۲، آسیب‌پذیری متوسط، از ۹۳ تا ۱۳۶؛ آسیب‌پذیری زیاد، از ۱۳۷ تا ۱۸۴؛ آسیب‌پذیری خیلی زیاد، از ۱۸۴ تا ۲۳۰. آسیب‌پذیری پتانسیل آبخوان را برای آلودگی نشان می‌دهد و نباید با خطر آلودگی اشتباه گرفته

جدول ۱. طبقه‌بندی کیفی میزان آسیب‌پذیری

آلوودگی	خیلی زیاد	زیاد	متوسط	اندک تا زیاد	کم	بسیار کم	بدون خطر	پتانسیل آلودگی	شاخص دراستیک
>۱۹۹	۱۶۱-۱۹۹	۱۶۰-۱۷۹	۱۳۹-۱۵۹	۱۲۰-۱۳۹	۱۰۰-۱۱۹	۸۰-۹۹	<۷۹	۱	آسیب‌پذیری

جدول ۲. وزن‌های نسبت‌داده شده به پارامترهای هفتگانه دراستیک (Aller et al., 1987)

وزن نسبی	ویژگی و نوع اثر	پارامتر
۵	تعیین کننده عمقی است که آلوده‌کننده باید طی کند تا به سطح ایستایی برسد. هرچه سطح ایستایی عمیق‌تر باشد، زمان حرکت و ماندگاری آلودگی‌کننده و درنتیجه، ظرفیت میرایی آن افزایش می‌یابد.	عمق آب زیرزمینی (D)
۴	نگذیله خالص مقدار آبی است که از سطح زمین نفوذ می‌کند، به سطح ایستایی می‌رسد و موجب انتقال عمودی آلودگی، و رسیدن به سطح ایستایی، و حرکت افقی آن در آبخوان می‌شود.	תغذیه (R)
۳	طول و چگونگی مسیر سیستم جریان آب زیرزمینی در آبخوان را مشخص می‌کند. نقش مؤثری در سرعت انتقال آلودگی دارد و طول مسیر و زمان لازم برای انجام‌شدن فرایندهای میرایی (مانند جذب، واکنش‌های شیمیایی و پراکشن) آلودگی را تعیین می‌کند.	محیط اشباع (A)
۲	تأثیر بسیار مهمی در رسیدن تغذیه مؤثر به سطح ایستایی و نیز در چگونگی حرکت آلوده‌کننده دارد.	محیط خاک (S)
۱	نقش مهمی در حرکت آلوده‌کننده و نگهداری آن روی سطح زمین دارد. افزون‌بر این، توپوگرافی در گسترش خاک و درنتیجه، میرایی آلوده‌کننده‌ها نیز مؤثر است.	توبوگرافی (T)
۵	منطقه بالای سطح ایستایی تا سطح زمین را دربر می‌گیرد که از آب غیراشباع است. ضخامت و ویژگی‌های هیدرولیکی مواد زمین‌شناسی منطقه را کنترل می‌کند که از عوامل کلیدی تعیین آسیب‌پذیری آبخوان محسوب می‌شوند.	محیط غیراشباع (I)
۳	با مقدار فضای خالی مرتبط به هم در آبخوان کنترل می‌شود و حاصل تخلخل بین‌دانه‌ای، درز و شکاف‌ها و صفحات لاپه‌بندی است.	هدایت هیدرولیکی (C)

۲-۲-۲- رتبه‌بندی پارامترهای دراستیک
 به هریک از پارامترهای کیفی دراستیک مانند محیط خاک (S)، محیط غیراشباع (I) و محیط اشباع (A)، براساس نوع خاک و مواد زمین‌شناسی تشکیل دهنده، و به هریک از پارامترهای عددی دراستیک مانند عمق تغذیه (D)، تغذیه (R)، توپوگرافی (T) و هدایت هیدرولیکی (C)، براساس محدوده‌ها یا کلاسه‌های عددی متغّری، ارزشی بین ۱ تا ۱۰ داده می‌شود. جدول ۳ به ترتیب رتبه‌بندی عمق سطح آب زیرزمینی، درصد شیب، محیط اشباع آبخوان، محیط غیراشباع آبخوان، محیط خاک، هدایت هیدرولیکی و تغذیهٔ خالص را نشان می‌دهد.

به مهم‌ترین پارامتر وزن ۵ و به کم‌اهمیت‌ترین آنها وزن ۱ اختصاص داده می‌شود (Aller et al., 1987). ارزیابی آسیب‌پذیری هر منطقه باید براساس اهمیت هریک از پارامترها در آن منطقه صورت بگیرد. برای نمونه، توپوگرافی در منطقه‌ای کوهستانی، در مقایسه با دشتی مسطح، اهمیت بیشتری دارد. همچنین، باید توجه داشت که برخی پارامترها در ایجاد دیگر پارامترهای هفت‌گانه دراستیک مؤثرند. مثلًاً توپوگرافی (T) در پارامتر عمق آب زیرزمینی (D) در منطقه مؤثر است؛ هرچند اثر توپوگرافی پیش‌تر و جداگانه در برآورد شاخص دراستیک اعمال شده است. باید گفته شود وزن دهی پارامترهای دراستیک در این تحقیق براساس معیار آلر صورت گرفته است.

جدول ۳. رتبه‌بندی شاخص‌های دراستیک (Aller et al., 1987)

رتبه‌بندی محدوده (مترا)	رتبه‌بندی محدوده زمین‌شناسی	نوع و سازند زمین‌شناسی	رتبه‌بندی محدوده زمین‌شناسی	نوع و سازند زمین‌شناسی	رتبه‌بندی محدوده زمین‌شناسی	محيط اشباع آبخوان	محيط خاک	رتبه‌بندی محدوده زمین‌شناسی	محيط غیراشباع آبخوان	هدایت هیدرولیکی	عمق سطح آب زیرزمینی	
											درصد شیب توپوگرافی	درصد شیب
-۴/۱ ۰/۰۴	۱	۱۰	نازک / نبود لایه	۱	لایه محبوس کننده	۱	شیل توده	-۰-۲	۱۰	-۰-۱/۵	۱۰	
-۱۲/۳ ۴/۱	۲	۱۰	شن	۳	سیلت/ رس	۲	آذرین / دگرگونی	-۲-۶	۹	-۴/۶ ۱/۵	۹	
-۲۸/۷ ۱۲/۳	۴	۹	ماشه	۳	سیل	۳	آذرین / دگرگونی هوازده	-۶-۱۲	۵	-۹/۱ ۴/۶	۷	
-۴/۱ ۲۸/۷	۶	۸	کود گیاهی	۶	سنگ‌آهک	۳	یخرف	-۱۸ ۱۲	۳	-۱۵/۲ ۹/۱	۵	
۴۱-۸۲	۸	۷	رس فسرده / متراکم	۶	ماشه‌سنگ	۶	ماشه‌سنگ لایه، سیل‌ها	>۱۸	۱	-۲۲/۸ ۱۵/۲	۳	
>۸۲	۱۰	۶	لوم ماشه‌ای	۶	ماشه‌سنگ، سنگ‌آهک، سیل‌های لایه‌لایه	۶	ماشه‌سنگ توده‌ای	-	-	-۳۰/۴ ۲۲/۸	۲	
-	-	۵	لوم	۶	مقدار زیادی سیلت ورس	۶	سنگ‌آهک توده‌ای	-	-	>۳۰/۴	۱	
-	-	۴	لوم سیلیتی	۸	شن و ماشه	۱۸	شن و ماشه	-	-	-	-	
-	-	۳	لوم رس‌دار	۲	باالت دارای شکستگی	۹	باالت دارای شکستگی	-	-	-	-	
-	-	۲	کود	۱۰	سنگ‌آهک کارستی	۱۰	سنگ‌آهک کارستی	-	-	-	-	
-	-	۱	رس نامتراکم	-	-	-	-	-	-	-	-	

ادامه جدول ۳.

زیرزمینی	عمق سطح آب	درصد شب توبوگرافی	محیط اشباع آبخوان	محیط غیراشباع آبخوان	محیط خاک	هدايت هیدرولیکی	تجزیه خالص	
							تغذیه (R)	نفوذپذیری خاک (In)
حدوده	رتبه	حدوده	رتبه	حدوده	رتبه	حدوده	رتبه	شیب توبوگرافی (T)
۱۱-۱۳	۱۰	۵	بالا	>۸۵-	۴	<۲	۴	-۸۵-
۹-۱۱	۸	۴	تقریباً بالا	۷۰۰	۳	۲-۱۰	۳	-۷۰۰
۷-۹	۵	۳	متوسط	۵۰۰	۲	۱۰-۳۳	۲	<۵۰۰
۵-۷	۳	۲	اندک	-	۱	>۳۳	۱	-
۳-۵	۱	۱	بسیار اندک	-	-	-	-	-

به همراه نقاط ارتفاعی کمکی مربوط به چاههای مشاهدهای استفاده شده است. ابتدا، نقشهٔ رستری توبوگرافی و سپس به کمک آن، نقشهٔ رستری درصد شیب تهیه شد و درنهایت، با استفاده از رتبه‌بندی این نقشه، رتبه‌بندی شیب در محیط GIS حاصل شد. لایهٔ منطقهٔ غیراشباع، با استفاده از لوگ‌های حفاری چاهها و نقشه‌های مقاطع ژئوالکتریک دشت، نوع و جنس مواد تشکیل‌دهندهٔ این منطقه مشخص و نقشهٔ رستری آن تهیه شد. سپس به کمک این نقشه و جدول‌های پیشین، لایهٔ رستری رتبه‌بندی مربوط به منطقهٔ غیراشباع تهیه می‌شود.

شاخص آسیب‌پذیری سفره آب زیرزمینی با استفاده از نقشه‌های رتبه‌بندی پارامترها و وزن هریک از پارامترهای هفت‌گانه دراستیک نقشهٔ پهنه‌بندی آسیب‌پذیری محدوده مطالعه به دست آمد. برای نمونه‌گیری، در مجموع بیست نمونه از بیست حلقه چاه در منطقهٔ کوچصفهان، به همراه مختصات جغرافیایی آنها، دریافت شد. برای اندازه‌گیری غلظت نیترات نمونه‌ها، روش استاندارد و از دستگاه Spectrophotometer U.V/Visible اسپکتروفوتومتر Jesco 7800 به کار رفت. به منظور مشخص کردن مختصات جغرافیایی هریک از چاهها، از دستگاه GPS استفاده شد.

داده‌های مورد نیاز برای تهیهٔ پارامترهای دراستیک

برای تهیهٔ لایه‌های اطلاعاتی لایهٔ عمق (D)، با استفاده از آمار و اطلاعات چاههای مشاهدهای موجود، ابتدا نقشهٔ هم‌عمق آب زیرزمینی تهیه و سپس، با کمک رتبه‌بندی عمق نقشه، رتبه‌بندی عمق تهیه شد. برای تهیهٔ نقشهٔ تغذیهٔ خالص (R) دشت، ابتدا میانگین بارندگی سالیانه (Ra) و سپس، با توجه به مقدار نفوذپذیری خاک (In) و شیب توبوگرافی مناطق متفاوت دشت، میزان تغذیهٔ خالص تقسیم‌بندی شد. نقشهٔ تغذیهٔ خالص به صورت رستری به دست آمد و پس از آن، با توجه به رتبه‌هایی که در محاسبهٔ شاخص آسیب‌پذیری در نظر گرفته شده برای پارامتر تغذیه و طبق رابطه (۲)، نقشهٔ رتبه‌بندی تغذیه به دست آمد:

$$R = \frac{Slope(\%)}{Ra(mm)} + \frac{In(mm)}{Ra(mm)}$$

رابطه (۲)

لایهٔ محیط آبخوان A با استفاده از لوگ‌های حفاری چاههای موجود در محدودهٔ مطالعاتی و نقشه‌های مقاطع ژئوالکتریک، نقشهٔ نوع و جنس محیط آبخوان تهیه شد و با توجه به رتبهٔ آن محیط، نقشهٔ رستری رتبه‌بندی آن در محیط GIS به دست آمد. لایهٔ محیط خاک (S)، با استفاده از لوگ حفاری چاهها، نقشهٔ نوع و جنس خاک تا عمق ۲ متری تهیه و سپس، با توجه به رتبه‌بندی این پارامتر، نقشهٔ رستری محیط خاک در محیط GIS حاصل شده است. به منظور استخراج لایهٔ شیب، از نقشهٔ رقومی توبوگرافی منطقه

کلاس‌ها در فضای طیفی تداخل داشته باشند، داده‌ها به فضایی با بعد بیشتر برده می‌شوند تا تمایز آنها میسر باشد. هدف اصلی این الگوریتم یافتن بیشترین فاصله بین دو کلاس و درنتیجه، افزایش دقت طبقه‌بندی است؛ در حالی که خطای تعمیم نیز تا حد امکان کاهش یابد (Zhang et al., 2008). بهمنظور محاسبه مرز تصمیم‌گیری دو کلاس کاملاً جدا از هم، از روش حاشیه بهینه استفاده می‌شود. مرز خطی بین دو کلاس به‌گونه‌ای محاسبه می‌شود که: (الف) تمامی نمونه‌های کلاس ۱+۱ در یکسوی مرز و تمام نمونه‌های کلاس ۱- در سوی دیگر مرز واقع شوند. مرز تصمیم‌گیری به‌گونه‌ای است که فاصله نزدیک‌ترین نمونه‌های آموزشی هر دو کلاس از یکدیگر، در راستای عمود بر مرز تصمیم‌گیری، تا جایی که ممکن است حداقل شود. به عبارت دیگر، در این روش، ابتدا فاصله نزدیک‌ترین نمونه‌های تعلیمی دو کلاس در راستای عمود بر مرزها محاسبه و با حل مسئله بهینه‌سازی، مرز بهینه مشخص می‌شود. مرز بهینه مرزی است که بیشترین حاشیه را دارا باشد. دو صفحه موازی در دو سمت مرز تصمیم‌گیری تعریف می‌شوند؛ به‌گونه‌ای که صفحه مرز بیشترین فاصله را بین دو صفحه موازی ایجاد می‌کند. هرچه فاصله بین دو صفحه موازی بیشتر باشد، دقت کلاس‌بندی افزایش می‌یابد (Srivastava and Bhambhu, 2009).

در حقیقت، این الگوریتم در پی یافتن ابرصفحه‌ای است که عملکرد آن، ضمن سازگاری با داده‌های تعلیمی، توانایی تفکیک و جداسازی مجموعه داده از یکدیگر را نیز داشته باشد (Mountrakis et al., 2011). منظور از ابرصفحه جداکننده بهینه، محدوده‌ای است که با استفاده از داده‌های تعلیمی، پیکسل‌هایی را که به نادرستی طبقه‌بندی می‌شوند به حداقل برساند (Mountrakis et al., 2011). برای تعریف این سطح جداکننده، چندین کرنل وجود دارد. درصورتی که ابرداده‌ها دارای تداخل زیادی باشند، می‌توان از کرنل چندجمله‌ای با درجات

-
1. Tissen Polygons
 2. Supoort Vector Machine

از منابع متفاوت و با فرمتهای گوناگون گردآوری شد و برای ورود به نرم‌افزار ArcGIS، به فرمت مطلوب تبدیل شدند. تمامی داده‌ها به یک سیستم تصویر درآمدند. همچنین، به منظور تهیه نقشه‌های معیار مدل دراستیک، آنالیزهای مکانی گوناگونی بر داده‌های موجود در محیط GIS صورت گرفت که از آن جمله می‌توان به تبدیل نقطه به ناحیه شامل درون‌یابی کریجینگ، IDW، ایجاد پلی‌گون‌های تیسن¹، توابع تحلیلی سطوح مانند استخراج شبیب از مدل ارتفاعی رقومی و تبدیل بردار به رستر اشاره کرد. وزن دهی پارامترهای دراستیک در این تحقیق براساس معیار آر انجام شد. هدف این پژوهش، افزون بر تهیه نقشه و تعیین مناطقی با پتانسیل بالای آسیب‌پذیری، تطبیق آن با داده‌های آلدگی موجود در منطقه (نیترات) است.

۲-۳-۲- ماشین بردار پشتیبان

ماشین بردار پشتیبان (SVM)² روش آماری غیرپارامتریک نظرارتشدۀای است و براساس این فرض عمل می‌کند که هیچ‌گونه اطلاعی از چگونگی توزیع مجموعه داده‌ها وجود ندارد. ویژگی اصلی این روش توانایی بالا در استفاده از نمونه‌های تعلیمی کمتر و رسیدن به دقت بالاتر، در مقایسه با دیگر روش‌های طبقه‌بندی پیشین، است (Mantero et al., 2005; Mountrakis et al., 2011).

ماشین بردار پشتیبان، درواقع، طبقه‌بندی کننده‌ای دودویی است که دو کلاس را، با استفاده از مرزی خطی، از هم جدا می‌کند و به خانواده طبقه‌بندی‌های خطی تعمیم‌یافته وابسته است. ماشین بردار پشتیبان داده‌را، با عبور یک صفحه مرز خطی و با استفاده از تمامی باندها و به کارگیری الگوریتم بهینه‌سازی، طبقه‌بندی می‌کند؛ بدین‌گونه که ابتدا، نمونه‌هایی که مرز کلاس‌ها را تشکیل می‌دهند به دست می‌آیند. به عبارت دیگر، تعدادی از نقاط آموزشی، که کمترین فاصله تا مرز تصمیم‌گیری را دارند، بردار پشتیبان در نظر گرفته می‌شوند (Bhambhu, 2009). در این روش، با افزایش بعد داده‌ها نتیجه مطلوب‌تری حاصل می‌شود. درواقع درصورتی که

سلول‌های شبکه به یکدیگر متصل‌اند؛ به گونه‌ای که خروجی هر سلول ورودی سلول بعدی به شمار می‌رود. شکل ۲ ساختار شبکه‌ای عصبی، با سه لایه، را نشان می‌دهد. در این شکل، لایه نخست لایه ورودی است که در پردازش هیچ نقشی ایفا نمی‌کند. البته برخی آن را لایه محسوب می‌کنند و نام «لایه ورودی» را به آن می‌دهند ولی برخی متخصصان دیگر آن را لایه در نظر نمی‌گیرند بلکه بردار ورودی^۱ می‌نامند. ورودی‌ها فقط به این دلیل به این بخش وارد می‌شوند که، از طریق ارتباطات موجود، به درون لایه‌های بعدی فرستاده و پردازش شوند. لایه انتهایی لایه خروجی است که پاسخ شبکه را به دست می‌دهد. لایه‌های بین لایه ورودی و خروجی لایه‌های پنهان یا میانی^۲ نامیده می‌شوند. یکی از متدالوں ترین انواع شبکه‌های عصبی شبکه‌های پرسپترون چندلایه^۳ محسوب می‌شوند که می‌توانند بسیاری از مسائل پیچیده و مشکل را حل کنند. این شبکه‌ها نیز ساختار کلی شبکه‌های عصبی شامل سه لایه ورودی، میانی و خروجی را دارند. این امکان وجود دارد که لایه میانی به تعداد دلخواه در نظر گرفته شود ولی امروزه به اثبات رسیده است که شبکه‌های دارای یک لایه میانی قادر به حل تمامی مسائل خواهند بود. مدل دیگر استفاده شده برای پیش‌بینی آسیب‌پذیری آب زیرزمینی، روش شبکه عصبی مصنوعی است. بدین‌منظور، از شبکه سه‌لایه پرسپترون با الگوریتم MLP استفاده شد. در این روش، برای لایه ورودی، از هشت ورودی شامل پارامترهای دراستیک استفاده شد. برای آموزش شبکه، الگوریتم LMP به کار رفت که جزئیات آموزش و فرایند محاسبه آن را انجمن مهندسان عمران امریکا مطرح کرده است (ASCE).^۴ ۲۰۰۰ تابع تبدیلگر، در لایه دوم، سیگما‌اید تائزانتی^۵ و در لایه سوم، خطی^۶ است. تعداد دوره‌های آموزش ۱۶۰ دوره بود.

- | | |
|---------------------------|-----------------|
| 1. input vector | 2. hidden layer |
| 3. multi-layer perceptron | 4. tansig |
| 5. purlin | |

چندجمله‌ای، با گاما متفاوت، یا از کرنل RBF استفاده کرد. روابط موردی به کاررفته در این سه کرنل بدین شرح است:

جدول ۴. روابط بین کرنل‌ها

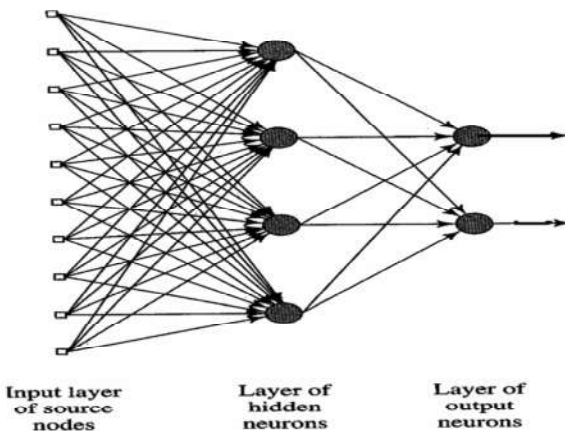
کرنل	رابطه
خطی	$K(X_i, X_j) = X_i^T X_j$
چندجمله‌ای	$K(X_i, X_j) = (gX_i + TX_j)d, g > 0$
RBF	$K(X_i, X_j) = \exp(-g\ X_i - X_j\ ^2), g > 0$

در روابط بالا، T ماتریس ترانهاده، g بیانگر گاما، d درجه چندجمله‌ای و X_i و X_j نشان‌دهنده بردار مؤلفه امام و زام است. در حقیقت، در کرنل‌های غیرخطی SVM پارامتر گاما کنترل‌کننده شکل مرز تصمیم است. مقادیر کم آن باعث نزدیک شدن مرز تصمیم به حالت خطی می‌شود. با افزایش مقدار آن، انعطاف‌پذیری مرز تصمیم بالاتر می‌رود و مرز تصمیم به شکل ابرداده‌های هر کلاس نزدیک‌تر می‌شود. تغییر پارامتر g نیز سبب انعطاف‌پذیری ابرصفحه جداکننده می‌شود.

در تمامی چهار روش داده‌مبنا، هشت پارامتر ورودی شامل پارامتر دراستیک و نیز غلظت نیترات، به منزله ورودی، به کار رفته و شبکه، با ۳۰٪ داده‌های نیترات به صورت خروجی، آموزش داده شد. در داده‌های نیترات برای کنترل شبکه نگهداری شد. در این تحقیق سه کرنل خطی، چندجمله‌ای و RBF، با درجات متفاوت چندجمله‌ای و مقادیر گاما متفاوت، بررسی شد. در نهایت، کرنل‌های خطی و غیرخطی و RBF به صورت کرنل‌های برتر انتخاب شدند.

۴-۲-۲- شبکه عصبی

ساختار شبکه‌های عصبی از واحدهای پردازشگر (نرون‌ها) تشکیل شده که وظیفه سازماندهی را بر عهده دارند. این نرون‌ها ممکن است با یکدیگر ترکیب شوند و تشکیل لایه بدهند. هر سلول عصبی دارای چندین ورودی است. این ورودی‌ها با یکدیگر ترکیب می‌شوند و پس از عملیات پردازش، یک خروجی به دست می‌دهند.



شکل ۲. ساختار شبکه عصبی با سه لایه (Haykin et al., 1999)

استفاده از مجموعه‌ای قوانین، مانند اگر / آن گاه ؛ ج بررسی سیستم و غیرفازی سازی داده‌ها از راه عملگرهای فازی، مانند or، and و no. عملگر and با کمینه‌سازی^۳ و وزن دهنده^۴ و عملگر or نیز از طریق بیشینه‌سازی^۵ اجرا می‌شود (ندیری و همکاران، ۱۳۹۲). مدل فازی به روش‌های ممدانی (MLF) (Mamdani & Assilian, 1975)، مدل سوگنو (SLF) (Sugeno, 1985) و مدل لارسن (LFL) (Larsen, 1980) اجرا می‌شود. تفاوت روش سوگنو با دو روش دیگر در خروجی آن است. در این روش، برخلاف روش ممدانی،تابع عضویت خروجی سیستم فازی به صورت ثابت یا رابطه خطی است که از روش دسته‌بندی حاصل می‌شود (Nadiri et al., 2014). نخستین مرحله در ایجاد مدل فازی دسته‌بندی داده‌هاست. روش‌های بسیاری برای دسته‌بندی وجود دارد (Hongxing et al., 2001) که از جمله آنها می‌توان به شیوه SC^۶ برای روش سوگنو و روش FCM^۷ برای روش‌های ممدانی و لارسن اشاره کرد (ندیری و همکاران، ۱۳۹۲). در منطق فازی، میزان عضویت یک عنصر در یک مجموعه با مقداری در بازه یک (عضویت کامل) تا صفر (عدم عضویت کامل) تعریف می‌شود.

- | | |
|------------------|---------------------------|
| 1. RMSE | 2. if-then |
| 3. min | 4. prod |
| 5. max | 6. clustering subtractive |
| 7. fuzzy C-means | |

برای انتخاب بهترین مدل، از شاخص‌های آماری ضریب همبستگی (R) و طبق رابطه (۴) و نیز میانگین مربعات خطأ^۸ (طبق رابطه (۵)) استفاده شد.

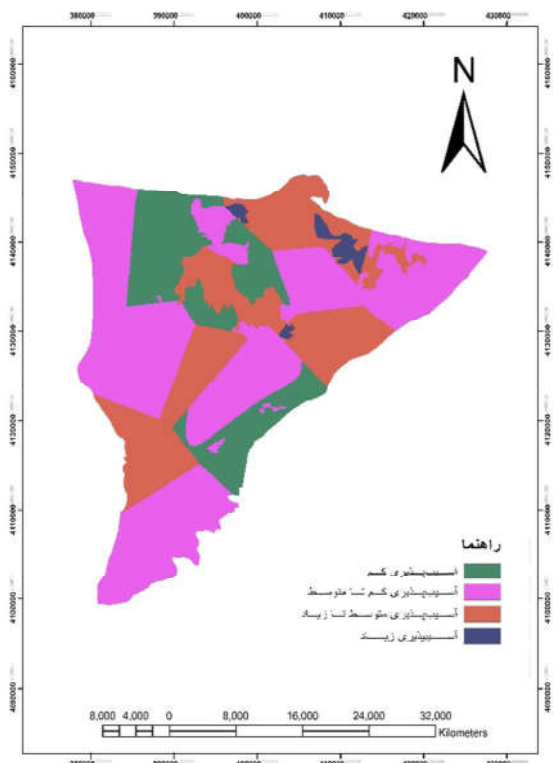
$$R^2 = 1 - \frac{\sum_{i=1}^n (V_{ul_i} - \bar{V}_{ul})^2}{\sum_{i=1}^n (V_{ul_i} - \bar{V}_{ul})^2} \quad \text{رابطه (۵)}$$

$$RMSE = \sqrt{\frac{\sum_{i=1}^n (V_{ul_i} - \bar{V}_{ul})^2}{n}} \quad \text{رابطه (۴)}$$

۲-۵-۲-۲- مدل فازی

تئوری فازی را نخستین بار پروفسور لطفی‌زاده (۱۹۶۵) در مقاله‌ای با عنوان «مجموعه‌های فازی» معرفی کرد و پس از آن، در دهه ۱۹۷۰، بسیاری از مفاهیم بنیادی تئوری فازی شامل الگوریتم‌های فازی، تصمیم‌گیری فازی و تلفیق فازی مطرح شد. این تئوری قادر است بسیاری از مفاهیم، متغیرها و سیستم‌های غیردقیق و مبهوم را صورت‌بندی ریاضی بخشد و زمینه را برای تصمیم‌گیری در شرایط عدم اطمینان فراهم آورد. مدل‌های فازی معمولاً برای مسائل همراه با عدم قطعیت ذاتی مناسب‌اند (Pulido & Gutiérrez, 2009; Nadiri et al., 2014). هر سیستم فازی شامل سه بخش اصلی است: (الف) فازی‌کردن داده‌ها با استفاده از تابع عضویت؛ (ب) ایجاد ارتباط بین ورودی و خروجی با

۱-۳- نقشه آسیب‌پذیری با روش دراستیک
 شکل ۳ و ۴ نقشه‌های پهنه‌بندی آسیب‌پذیری را، با استفاده از مدل اصلی دراستیک و نقشه نیترات، نشان می‌دهد. همان‌طور که در شکل‌ها مشاهده می‌شود، در نقاطی با آسیب‌پذیری زیاد که با آبی پررنگ نمایش داده شده، مقدار نیترات اندازه‌گیری شده نیز بسیار زیاد است. آسیب‌پذیری آبخوان این دشت در چهار محدوده قرار دارد. ۵۶/۱۸٪ دشت دارای آسیب‌پذیری اندک، ۵۱.۲۹٪ دارای آسیب‌پذیری اندک تا متوسط، ۲۸.۴۶٪ دارای آسیب‌پذیری متوسط تا زیاد و ۶۷/۱٪ دارای آسیب‌پذیری زیاد است. میزان همبستگی بین شاخص دراستیک با غلظت نیترات ۸۰٪ به‌دست آمده است.



شکل ۳. نقشه پهنه‌بندی آسیب‌پذیری با استفاده از مدل دراستیک

برای تهیه مدل MFL و LFL از روش دسته‌بندی FCM استفاده شد. براساس این روش، تعداد دسته‌های مطلوب برای مدل‌های MFL و LFL با توجه به کمترین مقدار RMSE تعیین شد. در این روش‌ها نیز توابع عضویت ورودی و خروجیتابع گوسی بوده است.

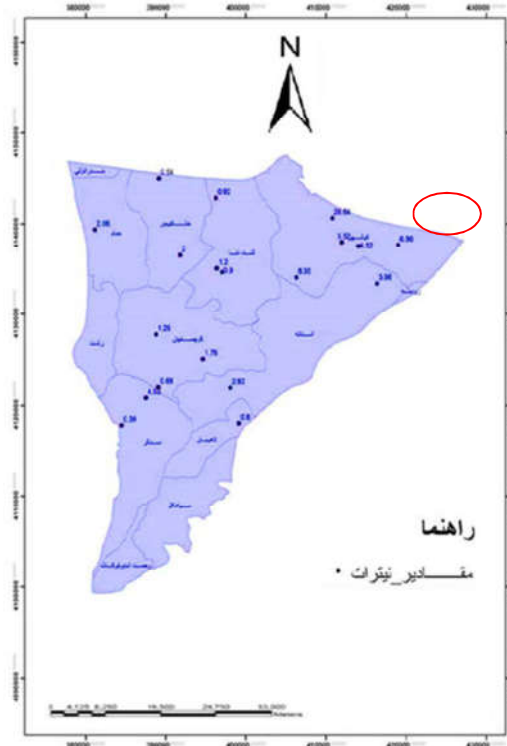
۶-۲- مدل فازی- عصبی
 مدل ابتدایی که در این تحقیق به کار رفت ترکیب مدل فازی و شبکه عصبی بود و فازی- عصبی نامیده می‌شود. در این مدل، شبکه‌های عصبی مصنوعی برای بهینه‌سازی مدل فازی به کار می‌رود. در این روش نیز، همانند روش فازی، از روش دسته‌بندی کاهشی استفاده شد و برای بهینه‌کردن پارامترهای مدل، الگوریتم هیبرید به کار رفت. این الگوریتم ترکیبی از الگوریتم‌های حداقل مربعات است. مدل گرادیان نزولی انتشار به عقب سوگنونی بهینه‌شده با الگوریتم هیبرید، پس از سه دوره آموزشی، به مقدار بهینه رسید. ورودی‌های این روش نیز همچون روش‌های پیشین در نظر گرفته شد.

۳- نتایج و بحث

در این تحقیق، کوشش شد آسیب‌پذیری آب زیرزمینی با مدل دراستیک و روش‌های هوش مصنوعی تخمين زده شود. معیار ارزیابی روش دراستیک ضریب همبستگی بین شاخص آسیب‌پذیری آب زیرزمینی و غلظت نیترات و روش‌های هوش مصنوعی غلظت نیترات تخمين زده شده، با استفاده از مدل و غلظت نیترات اندازه‌گیری شده واقعی، است. مدل با داده‌های غلظت نیترات موجود در آبخوان شکل ۳ تطبیق یافت. سپس به منظور مقایسه عملکرد مدل‌های هوش مصنوعی، مقایسه‌ای بین نتایج مدل شبکه عصبی، بردار پشتیبان، مدل فازی و عصبی فازی صورت گرفت. باید گفته شود مدل‌های داده‌محور به کمک هفت پارامتر دراستیک و غلظت نیترات تهیه شدند که در ادامه، هریک از آنها توضیح داده می‌شود.

پشتیبان با کرنل خطی، همبستگی ۵۷ درصدی با غلظت نیترات اندازه‌گیری را نشان می‌دهد. برای بهبود رابطه، بین غلظت نیترات و ورودی‌های مدل از کرنل غیرخطی و RBF نیز استفاده شد که هریک به ترتیب همبستگی٪۸۰ و٪۹۵ را با غلظت نیترات واقعی از خود نشان دادند. در مدل فازی هم از دو روش فازی سوگنو و ممدانی، با روش دسته‌بندی FCM، استفاده شد که، به ترتیب برای هریک، همبستگی برابر با٪۹۴ و٪۹۵ با مقدار نیترات اندازه‌گیری شده در منطقه، به دست آمد. در مدل شبکه عصبی، با تغییر نرون لایه میانی و نرون لایه خروجی و نیز الگوریتم آموزشی، سعی شد بهترین تخمین از نیترات موجود حاصل شود. در این میان، با انتخاب الگوریتم آموزشی MLP، یک نرون در لایه میانی و چهار نرون در لایه خروجی، همبستگی بین داده‌های آموزش و داده‌های آزمایش به٪۹۵ رسید.

با توجه به نتایج ضریب همبستگی و RMSE، مدل شبکه عصبی بهمنزله مدل برتر انتخاب شد. در ادامه، به این دلیل که هر قدر پارامترهای ورودی در مدل‌های پیش‌بینی کمتر باشد، کارآبی مدل بهتر است؛ پارامترهای ورودی این مدل‌ها کاهش یافت و مقدار نیترات تخمین زده شد. نتایج حاصل از این مرحله در جدول ۶ قید شده است.



شکل ۴. نقشه مقدار نیترات اندازه‌گیری شده در نقاط متفاوت حوضه

۳-۲- نتایج روش‌های داده‌مبنا

جدول ۵ نتایج حاصل از مدل‌های متفاوت را نشان می‌دهد. نتایج به دست آمده از خروجی‌های ماشین بردار

جدول ۵. نتایج به دست آمده از مدل‌های متفاوت

R2	RMSE	Gama	b	کرنل	
۰.۵۷۰۲۴	۰.۰۵۷۱۲	۱.۰۵۷۴۲	۰.۸۲۳۵۹-	خطی	
۰.۸۰۴۰۶	۰.۰۴۱۳۴	۰.۶۷۵۳۸-	۰.۶۷۵۳۸-	ماشین بردار پشتیبان	غیرخطی
۰.۹۵۵۸۹	۰.۰۲۰۵۴	۴.۳۸۰۹۷	۰.۱۷۴۱۶		'RBF
		تعداد دسته‌ها			روش دسته‌بندی
۰.۹۵۸۲۴	۰.۰۳۶۸۲	۱۲	FCM	ممدانی	فازی
۰.۹۴۴۷۶	۰.۰۴۳۹	۱۲	FCM	سوگنو	
۰.۹۸۷۹۴	۰.۰۱۱۹۲	الگوریتم آموزشی	نرون لایه میانی، خروجی	—	شبکه عصبی
		MLP	1.4	—	
۰.۹۵۴۴۳	۰.۰۴۳۹	الگوریتم آموزشی	نرون لایه میانی، خروجی	—	فازی- عصبی
		هیبرید	—	—	

تعیین آسیب‌پذیری آبخوان با روش دراستیک استاندارد و روش‌های داده‌مبنا ...

جدول ۶. خروجی‌های مدل‌های گوناگون با کاهش ورودی‌ها

ماشین بردار پشتیبان کریل RBF						شبکه عصبی					
R^2	RMSE	تعداد	ورودی‌ها	R^2	RMSE	تعداد	ورودی‌ها	R^2	RMSE	تعداد	ورودی‌ها
ورودی						ورودی					
۰.۸۸۵	۱.۴۴۹	۶	محیط خاک_محیط غیراشباع_	۰.۹۰۶	۱.۳۹۳	۶	محیط خاک_محیط غیراشباع_	۰.۸۸۵	۱.۴۴۹	۶	محیط خاک_محیط غیراشباع_
۰.۸۶۹	۱.۵۴۳	۵	محیط اشباع_تغذیه خالص_تراز آب_هدايت هیدرولیکی	۰.۹۰۳	۱.۴۶۶	۵	محیط خاک_محیط غیراشباع_	۰.۸۶۹	۱.۵۴۳	۵	محیط اشباع_تغذیه خالص_تراز آب_هدايت هیدرولیکی
۰.۵۹	۲۶۸۴	۲	محیط خاک_محیط خاک	۰.۶۸	۲.۴۷۶	۲	تراز آب_محیط خاک	۰.۵۹	۲۶۸۴	۲	تراز آب_محیط خاک
۰.۵۴	۲۸۸۴	۱	تراز آب	۰.۶۳	۲.۷۸۶	۱	تراز آب	۰.۵۴	۲۸۸۴	۱	تراز آب
۰.۴۱	۲۸۳۵	۱	محیط خاک	۰.۵۸	۲.۵۷۷	۱	محیط خاک	۰.۴۱	۲۸۳۵	۱	محیط خاک
۰.۰۰	۴.۰۲	۱	هدايت هیدرولیکی	۰.۱۶۲	۳.۰۹۴	۱	هدايت هیدرولیکی	۰.۰۰	۴.۰۲	۱	هدايت هیدرولیکی
۰.۰۰	۴.۲۴	۱	محیط غیراشباع	۰.۰۰	۳.۳۱۳	۱	محیط غیراشباع	۰.۰۰	۴.۲۴	۱	محیط غیراشباع
فازی-عصبی						فازی-ممدانی					
R^2	RMSE	تعداد	ورودی‌ها	R^2	RMSE	تعداد	ورودی‌ها	R^2	RMSE	تعداد	ورودی‌ها
ورودی						ورودی					
۰.۹۰۱	۱۶۰	۶	محیط خاک_محیط غیراشباع_	۰.۸۹۹	۱.۴۱۰	۶	محیط خاک_محیط غیراشباع_	۰.۹۰۱	۱۶۰	۶	محیط خاک_محیط غیراشباع_
۰.۸۹۸	۱.۷۲	۵	محیط اشباع_تغذیه خالص_تراز آب_هدايت هیدرولیکی	۰.۸۹۲	۱.۵۲۳	۵	محیط خاک_محیط غیراشباع_	۰.۸۹۸	۱.۷۲	۵	محیط اشباع_تغذیه خالص_تراز آب_هدايت هیدرولیکی
۰.۶۷	۲۸۲۳	۲	محیط خاک_محیط خاک	۰.۶۴	۲.۶۴۳	۲	تراز آب_محیط خاک	۰.۶۷	۲۸۲۳	۲	تراز آب_محیط خاک
۰.۶۰	۲.۹۱۱	۱	تراز آب	۰.۶۱	۲.۷۲۳	۱	تراز آب	۰.۶۰	۲.۹۱۱	۱	تراز آب
۰.۵۳	۲.۵۷۷	۱	محیط خاک	۰.۵۴	۲.۱۱۰	۱	محیط خاک	۰.۵۳	۲.۵۷۷	۱	محیط خاک
۰.۱۱۰	۳.۰۱	۱	هدايت هیدرولیکی	۰.۱۲۲	۳.۰۹۸	۱	هدايت هیدرولیکی	۰.۱۱۰	۳.۰۱	۱	هدايت هیدرولیکی
۰.۰۰	۳.۴۵۲	۱	محیط غیراشباع	۰.۰۰	۳.۲۸۰	۱	محیط غیراشباع	۰.۰۰	۳.۴۵۲	۱	محیط غیراشباع

آسیب‌پذیری منطقه دارند، به ترتیب، لایهٔ محیط غیراشباع و لایهٔ هدايت هیدرولیکی‌اند.

۴- نتیجه‌گیری

نتایج حاصل از مدل دراستیک نشان داد که بین غلظت نیترات و شاخص دراستیک همبستگی ۵۰ درصدی وجود دارد. همبستگی آسیب‌پذیری تخمین‌زده شده با مدل‌های بردار پشتیبان خطی، غیرخطی، RBF، فازی ممданی،

طبق جدول ۶، با حذف ورودی شیب و تغذیهٔ خالص، دقت همبستگی مدل‌ها چندان کاهش نداشته است و می‌توان، با دادن ۵ یا حتی ۴ ورودی به مدل، مقدار نیترات را، که در حقیقت آسیب‌پذیری منطقه شمرده می‌شود، با دقت مطلوبی تخمین زد. با بررسی حالات بعدی، متوجه می‌شویم تأثیرگذارترین لایه، در تخمین مقدار نیترات در منطقه، لایهٔ تراز و محیط خاک است و لایه‌هایی که کمترین تأثیر را در تخمین

آب های زیرزمینی محدوده آستانه-کوچصفهان در استان گیلان و بررسی تأثیر کیفیت آب رودخانه سفیدرود بر روی آن، چهارمین همایش زمین‌شناسی و محیط‌زیست دانشگاه آزاد اسلامی، واحد اسلامشهر، اسفند، ۷ صفحه.

پور فرج‌آبادی، ا، خلقی، م، محمدی، ک، ۱۳۸۷، شبیه‌سازی آلودگی نیترات در آبخوان کرج با استفاده از مدل شبکه عصبی. سومین کنفرانس مدیریت منابع آب.

زارع ایمانی، ح، بیات ورکشی، م، اخوان، س، محمدی، ح، ۱۳۹۰، تخمین نیترات آب زیرزمینی دشت همدان- بهار با استفاده از شبکه عصبی مصنوعی و اثر تفکیک داده‌ها بر دقیق پیش‌بینی، محیط‌شناسی، سال ۳۷، شماره ۵۸، ص. ۱.

علی عسگری، ک، معاضد، ه، قربانی‌زاده خرازی، ح، ۱۳۸۹، مدل سازی آلودگی نیترات در آب‌های زیرزمینی حاشیه زاینده‌رود با استفاده از شبکه عصبی مصنوعی، اولین کنفرانس بین‌المللی مدل‌سازی گیاه، آب، خاک و هوای.

ندیری، ع، اصغری مقدم، الف، عبرقی، ه، فیجانی، الف، ۱۳۹۲، توسعه مدل‌های هوش مصنوعی مرکب در برآورد قابلیت انتقال آبخوان، مطالعه موردي: دشت تسوج، مجله تحقیقات منابع آب ایران، سال ۹، شماره ۱، پیاپی ۲۶.

Almasri, M.N. & Kaluarachchi, J.J., 2005, Modular Neural Networks to Predict the Nitrate Distribution Inground Water Using the Onground Nitrogen Loading and Recharge Data, Environmental Modelling & Software, 20, PP. 851-871.

Aller, L., Bennet, T., Lehr, J.H., Petty, R.J. & Hackett, G., 1987, DRASTIC: A Standardized System for Evaluating Ground Water Pollution Potential Using Hydrogeologic Settings, EPA/600/2-87/035, U.S. Environmental Protection Agency, Ada, Oklahoma, PP: 19-25.

سوگنو، شبکه عصبی و فازی - عصبی با نیترات، بهترتب، ۸۰، ۹۵، ۹۴، ۹۵، ۹۸، ۹۵ درصد محاسبه شد. با توجه به نتایج به دست آمده از مدل‌های گوناگون هوش مصنوعی، از میان این چهار مدل، روش شبکه عصبی به منزله مدل بهینه انتخاب شد. براساس مدل نهایی، پارامترهای ورودی مدل کاهش یافت. درنهایت مشخص شد، با حذف ورودی شیب و تغذیه خالص، دقت همبستگی مدل‌ها چندان کاهش ندارد و می‌توان مقدار نیترات را، که در حقیقت آسیب‌پذیری منطقه محسب می‌شود، با دادن ۵ یا حتی ۴ ورودی به مدل، با دقت مطلوبی تخمین زد. جدول ۶ نتایج حاصل از کاهش ورودی‌های گوناگون و تأثیر آن در دقت برآورد خروجی‌ها را نشان می‌دهد.

منابع

آرزومندی، م، ۱۳۹۳، ارزیابی آسیب‌پذیری آبخوان با استفاده از دراستیک فازی (مطالعه موردي: دشت آستانه-کوچصفهان). پایان‌نامه کارشناسی ارشد منابع آب، دانشکدة کشاورزی دانشگاه بیرجند.

آرزومندی، م، خاشعی سیوکی، ع، جوادی، س، هاشمی، س، ۱۳۹۴، ارزیابی آسیب پذیری آب زیرزمینی دشت آستانه-کوچصفهان با استفاده از مدل اصلاح شده DRASTIC-NW، نشریه آبیاری زهکشی ایران، جلد ۹، شماره ۱، فروردین-اردیبهشت، ص. ۷۵.

احمدی، ج، آخوندی، ل، عباسی، ه، خاشعی سیوکی، ع، علیمددی، م، ۱۳۹۲، تعیین آسیب پذیری آبخوان با استفاده از مدل دراستیک و اعمال آنالیز حساسیت تک‌پارامتری و حذفی (مطالعه موردي: دشت سلفچگان- نیزار)، مجله پژوهش‌های حفاظت آب‌وخاک، جلد ۲۰، شماره ۳. اسحاق‌پور، م، منشوری، م، ۱۳۸۷، ارزیابی کیفی

- Arezoomand, M., Langrudi, M., Khasheisivaki, A., Javadi, S., Hashemi, R., 2016, **Evaluation of Vulnerability of Aquifers by Improved Fuzzy DRASTIC Method. Case Study: Aastane Kochesfahan Plain in Iran**, Ain Shams Engineering Journal, 7, PP. 11-20.
- Babiker, I.S., Mohamed, M.A.A., Hiyama, T. & Kikuo, K., 2005, **A GIS-based DRASTIC Model for Assessing Aquifer Vulnerability in Kakamigahara Heights, Gifu Prefecture, Central Japan**, Science of the Total Environment, 345(1-3), PP. 127-140.
- Dixon, B., 2005, **Groundwater Vulnerability Mapping: A GIS and Fuzzy Rule Based Integrated Tool**, Applied Geography, 25, PP. 327-347.
- Diamantopoulou, M.J., Antonopoulos, V.Z. & Papamichail, D.M., 2005, **The Use of a Neural Network Technique for the Prediction of Water Quality Parameters of Axios River in Northern Greece**, EuropeanWater, 11/12, PP. 55-62.
- El-Naqa, A., Hammouri, N. & Kioso, M., 2006, **GIS Based Elevation of Groundwater Vulnerability in the Russefia Area Jordan**, Revista Mexicana de Ciencias Geologicas, 23(3), PP. 277-287.
- Gemitzi, A., Petalas, C., Tsirhrintzis, V. & Pisinaras, V., 2006, **Assessment of Groundwater Vulnerability to Pollution: A Combination of GIS, Fuzzy Logic and Decision Making Techniques**, Environmental Geology, 49(5), PP. 653-673.
- Hongxing, L., Chen, P.C.P. & Huang, H.P., 2000, **Fuzzy Neural Intelligent System, Mathematical Foundation and the Application in Engineering**, CRC Press LLC.
- Kaluli, J.W., Madramootoo, C.A., & Djebbar, Y., 1998, **Modeling Nitrate Leaching Using Neural Networks**, Water Science Technology, 38(7), PP. 127-134.
- Larsen, P.M., 1980, **Industrial Applications of Fuzzy Logic Control**, International Journal of Man Machine Studies, 12, PP. 3-10.
- Mamdani, E.H., Assilian, S., 1975, **An Experiment in Linguistic Synthesis with a Fuzzy Logic Controller**, International Journal of Man-Machine Studies, 7, PP. 1-13.
- Mamdani, E.H., 1976, **Advances in the Linguistic Synthesis of Fuzzy Controllers**, International Journal of Man-Machine Studies, 8, PP. 669-678.
- Mantero, P., Moser, G. & Serpico, SB., 2005, **Partially Supervised Classification of Remote Sensing Images through SVM-Based Probability Densityestimation**, IEEE Trans. on Geoscience and Remote Sensing, 43, PP. 559-570.
- Mountrakis, G., Im, J. & Ogole, C., 2011, **Support Vector Machines in Remote Sensing: A Review**, ISPRS Journal of Photogrammetry and RemoteSensing, 13, PP. 247-259.
- Nadiri, A.A., Chitsazan, N., Tsai, F.T.C. & Moghaddam, A.A., 2014, **Bayesian Artificial Intelligence Model Averaging for Hydraulic Conductivity Estimation**, Journal of Hydrologic Engineerin, 19, PP. 520-532.
- Napolitano, P., 1995, **GIS for Aquifer Vulnerability Assessment in the Piana Campana, Southern Italy, Using the DRASTIC and SINTACS Method**, Prof. A.G. Fabbri, Thesis of Master of Sciences in Geology Survey, International Institute for Aerospace Survey and Earth Sciences.
- Napolitano, P. & Fabbri, A.G., 1996, **Single-Parameter Sensitivity Analysis for Aquifer Vulnerability Assessment Using DRASTIC and SINTACS, HydroGIS 96: Application of Geographic Information Systems in Hydrology and Water Resources Managemen**, IAHS Public, 235, PP. 559-566. of Hydrogeologists, Slovak Association of Hydrogeologists, Engineering Geology, 67(6-8), PP. 290-308, Project, Environmental Sciences Division, National Hydrology Research Institute.
- Pulido-Calvo, I. & Gutiérrez-Estrada, J.C., 2009, **Improved Irrigation Water Demand Forecasting Using a Soft-Computing Hybrid Model**, Biosystems Engineering, 102, PP. 202-218.
- Ramasamy, N., Krishnan, P., Bernard, J.C. & Ritter, W.F., 2003, **Modeling Nitrate Concentration in Ground Water Using Regression and Neural Networks**, FREC Research Reports, Department of Food and Resource Economics University of Delaware.

- Samey, A.A.& Gang, C., 2008, **A GIS Based DRASTIC Model for the Assessment of Groundwater Vulnerability to Pollution in West Mitidja: Blida City, Algeria**, Research Journal of Applied Sciences, 3(7), PP. 500-507.
- Srivastava, D.K. & Bhambhu, L., 2009, **Data Classification Using Support Vector Machine**, Journal of Theoretical and Applied Information Technology, PP: 1-7.
- Vlaicu, M. & Munteanu, C.M., 2008, **Karst Groundwaters Vulnerability Assessment Method**.
- Wen, X., Wu, J. & Si, J., 2009, **A GIS-based DRASTIC Model for Assessing Shallow Groundwater Vulnerability in the Zhangye Basin, Northwestern China**, Environ Geol, 57, PP. 1435-1442.
- Zadeh, L. A., 1965, Fuzzy sets, **Journal of Information and Control**, 8: 338-353.
- Zhang, Zh., Lieven, V., Eva, De, C., XiaoKun, Ou. & De Wulf, R., 2008, **Vegetation Change Detection Using Artificial Neural Networks with Ancillary Data in Xishuangbanna, Yunnan Province, China**, Chin. Sci. Bull, 52(2), PP. 232-243.